

ТЕОРЕТИЧЕСКАЯ И МАТЕМАТИЧЕСКАЯ ФИЗИКА

УДК 539.165.8:537.636:524.354.6

АСИММЕТРИЯ ИСПУСКАНИЯ НЕЙТРИНО В МАГНИТНОМ ПОЛЕ И САМОУСКОРЕНИЕ НЕЙТРОННЫХ ЗВЕЗД. I

Ю. М. Лоскутов, К. В. Парфенов

(кафедра квантовой теории и физики высоких энергий)

Анализируется индуцируемая внешним магнитным полем асимметрия испускания нейтрино в УРКА-процессах с учетом влияния плотной нуклонной среды. Результаты применяются для изучения эффекта самоускорения нейтронной звезды.

Возможность макроскопического проявления несохранения пространственной четности в асимметрии углового распределения нейтринного излучения нейтронных звезд уже неоднократно обсуждалась ранее [1—4]. Астрономические наблюдения показывают, что коллапсирующая звезда на ранних этапах эволюции самоускоряется, приобретая дополнительную скорость $v \sim 100$ км/с [5]. В работах [1, 2] было указано на возможность такого самоускорения за счет отдачи от нейтринного излучения β -процессов, протекающих в магнитном поле звезды $H \geq H_c = m_e^2/|e| = 4,41 \cdot 10^{13}$ Гс [6]. Затем были проведены расчеты [4] углового распределения нейтрино (антинейтрино), родившихся в УРКА-процессах на невырожденных нуклонах в магнитном поле. В этом случае преобладает вылет нейтрино и антинейтрино против поля. Была получена оценка скорости, приобретаемой звездой за счет отдачи, возникающей в результате нейтринной вспышки, которая связана с процессом нейтронизации вещества.

Однако, как будет показано ниже, эта задача требует более подробного исследования. В предлагаемой статье вводится ряд дополнительных и уточнений. Во-первых, учитываются захват нейтрино в веществе нейтронной звезды, который становится существенным при плотности $\rho > 3 \cdot 10^{11}$ г/см³ [7], и последующее вырождение нейтрино. Так как вероятность захвата зависит от направления движения нейтрино, эффекты непрозрачности могут сильно ослабить асимметрию выходящего излучения [8]. Во-вторых, учитывается влияние нуклонной среды и вырождение нуклонов на заключительной стадии нейтронизации. Несмотря на то что эти эффекты существенны лишь при довольно высокой плотности ($\rho \geq 10^{13}$ г/см³), они играют важную роль, так как индуцирующее асимметрию магнитное поле нарастает с увеличением плотности. Кроме того, в следующей статье будет рассмотрено приобретение звездой дополнительной скорости за счет отдачи от нейтринного излучения, испускаемого в ходе остывания образовавшейся нейтронной звезды. Как мы увидим в дальнейшем, эти уточнения могут существенно изменить результат — вплоть до изменения знака эффекта.

При вычислениях будем считать нуклоны нерелятивистскими, а электроны ультрарелятивистскими, не будем учитывать аномальные магнитные моменты нуклонов и наличие у нейтронной квазичастицы эффективного заряда по отношению к магнитному полю.

На этапе нейтронизации вещества основной вклад в нейтринную светимость вносит процесс $ep \rightarrow n\nu$, матричный элемент которого имеет вид

$$\mathcal{M}_{ep} = \frac{\tilde{G}}{\sqrt{2}} \int d^4x [\bar{\Psi}_n \gamma^\mu (1 + \tilde{g}_A \gamma^5) \Psi_p] [\bar{\Psi}_\nu \gamma_\mu (1 + \gamma^5) \Psi_e].$$

Здесь $\tilde{G} = G \gamma_V$ — константа Ферми, а $\tilde{g}_A = g_A \gamma_A / \gamma_V$ — аксиальная константа, скорректированные с учетом нуклонных корреляций, γ_V , γ_A — параметры корреляций в вершине слабого взаимодействия. Они определяются из уравнения для этой вершины \mathcal{T}_1^{β} [9]:

$$\mathcal{T}_1^{\beta}(x) = \mathcal{T}_0^{\beta}(x) + \int d^4y d^4z \text{Sp} [\mathcal{F}(x, y) G(y-z) \mathcal{T}_1^{\beta}(z) G(z-x)], \quad (1)$$

где \mathcal{T}_0^{β} — «затравочная» вершина пустотного взаимодействия, $G(x)$ — пропагатор нуклона, $\mathcal{F}(x, y)$ — локальное взаимодействие нуклонов в ядерном веществе [9]:

$$\mathcal{F} \frac{dn}{d\varepsilon_F} \Big|_{\rho_F = \rho_0} = [f + f' \tau_1 \tau_2 + (g + g' \tau_1 \tau_2) \sigma_1 \sigma_2] \delta(x-y),$$

σ_i , τ_i — спиновые и изоспиновые матрицы нуклонов, $\rho_0 = \rho_F(\rho_0)$, $\rho_0 = 2,8 \cdot 10^{14}$ г/см³. В (1) мы пренебрегли вкладом однопионного обмена в межнуклонное взаимодействие — в нерелятивистском приближении его влияние сводится здесь к небольшому изменению константы f' . Для γ_V , γ_A получаем

$$\gamma_V \simeq [1 - 2f' \rho_F^2 \rho_0^{-1} \Phi_1(\omega, q)]^{-1},$$

$$\gamma_A \simeq [1 - 2g' \rho_F^2 \rho_0^{-1} \Phi_1(\omega, q)]^{-1},$$

где $\Phi_1(\omega, q) = m_n^* \{ (a^2 - b^2) \ln [(a+b)/(a-b)] - 2ab \} / (4\rho_F^2 q^3)$, $a = \omega - q^2 / (2m_n^*)$, $b = qv_F$, ω , q — энергия и импульс лептонной пары, m_n^* — эффективная масса нейтронной квазичастицы.

Волновая функция электрона в магнитном поле дается выражением

$$\Psi_e(\rho, \varphi, z, t) = \frac{1}{4} \sqrt{\frac{|eH|}{\pi}} \widehat{B} \exp \left\{ -i \left[Et - q_3 z - \left(l + \frac{1}{2} \right) \varphi \right] \right\},$$

$$\widehat{B} = \begin{pmatrix} f_+ (\chi_+ + \zeta \chi_-) I_{n-1,s}(x) \exp \{ -i\varphi/2 \} \\ -i \zeta f_- (\chi_+ - \zeta \chi_-) I_{n,s}(x) \exp \{ i\varphi/2 \} \\ f_+ (\chi_+ - \zeta \chi_-) I_{n-1,s}(x) \exp \{ -i\varphi/2 \} \\ i \zeta f_- (\chi_+ + \zeta \chi_-) I_{n,s}(x) \exp \{ i\varphi/2 \} \end{pmatrix}. \quad (2)$$

Здесь $f_{\pm} = (1 \pm \zeta m / E_{\perp})^{1/2}$, $\chi_{\pm} = (1 \pm q_3 / E)^{1/2}$, $E_{\perp}^2 = m^2 + 2|eH|n$, $E^2 = E_{\perp}^2 + q_3^2$, $x = |eH| \rho^2 / 2$; l , s , ζ , $n = l + s$ — квантовые числа электрона, $I_{n,s}$ — присоединенные функции Лагерра. Волновая функция протона получается из (2) с помощью зарядового сопряжения.

Записывая \mathcal{M}_{ep} в виде

$$\mathcal{M}_{ep} = i(2\pi)^2 \delta(E^e + E^p - E^n - E^\nu) \delta(q_3^e + p_3^p - p_3^n - q_3^\nu) \mathcal{F}_{ep},$$

получим для излучения из единицы объема

$$\frac{d\mathcal{E}_{ep}^{\nu}}{dq^{\nu}} = \frac{q^{\nu}}{(2\pi)^3} \int \frac{d^3p^n}{(2\pi)^3} \frac{dq_3^e}{2\pi} \frac{dp_3^p}{2\pi} \sum_{p,e} (2\pi)^2 \delta(E^e + E^p - E^n - E^{\nu}) \times \\ \times \delta(q_3^e + p_3^p - p_3^n - q_3^{\nu}) n_p n_e (1 - n_n) (1 - n_{\nu}) |\mathcal{F}_{ep}|^2, \quad (3)$$

где $n_i = \{1 + \exp[(E_i - \mu_i)/T]\}^{-1}$ — функция распределения частиц i -го сорта, а $q^{\nu} = |q^{\nu}|$. Вычисления существенно упрощаются в случае слабого ($|eH| \ll p_F^e$) или сильного ($|eH| > p_F^e/2$) поля. Для нас наиболее важен случай слабого поля, так как для нейтронных звезд $p_F^e/|e| \sim 10^{16} \div 10^{19}$ Гс. В низшем порядке по $|eH|/p_F^e$, T/μ_n получаем из (3)

$$\frac{d\mathcal{E}_{ep}^{\nu}}{dq^{\nu}} \simeq \frac{\tilde{G}^2 m_n^* m_p^*}{32\pi^6} p_F^e q^{\nu} (1 - n_{\nu}) [(q^{\nu} - \delta\mu)^2 + \pi^2 T^2] f\left(\frac{p_F^n}{2p_F^e}, \frac{q^{\nu}}{2p_F^e}\right) \times \\ \times \{1 + \exp[(q^{\nu} - \delta\mu)/T]\}^{-1} \{1 + 3\tilde{g}_A^2 + (1 - \tilde{g}_A^2) |eH| p_F^e \cos \vartheta\}, \quad (4)$$

$$f(x, y) = \begin{cases} 1, & x + y < 1 \quad (y < x), \\ [1 - |x - y|]/(2y), & x + y \geq 1, \quad (x - y)^2 \leq 1, \\ 0, & (x - y)^2 > 1, \end{cases}$$

$\delta\mu = m_p^* + \mu_p + \mu_e - m_n^* - \mu_n$ (при $\delta\mu \rightarrow 0$ существен вклад процесса $n \rightarrow p + e + \nu$, который сравнивается с (4) при $\delta\mu = 0$).

Удельная нейтринная светимость равна

$$\mathcal{E}_{ep}^{\nu} \simeq \frac{457\pi}{20 \cdot 160} \tilde{G}^2 m_n^* m_p^* p_F^e T^6 (1 + 3\tilde{g}_A^2) \Theta(1 - p_F^n/(2p_F^e))$$

для слабого вырождения нейтрино при $\delta\mu \ll T$ ($\Theta(x)$ — функция Хэвисайда, описывающая подавление однонуклонных процессов в нейтронном веществе за счет множителя $\sim \exp[(2p_F^e - p_F^n)/T]$) и

$$\mathcal{E}_{ep}^{\nu} \simeq \frac{\tilde{G}^2 m_n^* m_p^*}{8\pi^6} p_F^e T p_F^{\nu 3} [(p_F^{\nu} - \delta\mu)^2 + \pi^2 T^2] f\left(\frac{p_F^n}{2p_F^e}, \frac{p_F^{\nu}}{2p_F^e}\right) \times \\ \times \exp[(\delta\mu - p_F^{\nu})/T] (1 + 3\tilde{g}_A^2)$$

в случае сильного вырождения ($p_F^{\nu} \gg T$). Наличие вырожденного нейтринного газа несколько замедляет нейтронизацию и сопровождающее ее сжатие.

Угловое распределение нейтринного излучения асимметрично:

$$\frac{d\mathcal{E}_{ep}^{\nu}}{d\Omega} = \mathcal{E}_{ep}^{\nu} (4\pi)^{-1} [1 + k_{ep} \cos \vartheta].$$

Как видно из (4), параметр асимметрии k_{ep} существенно зависит от плотности: при $\rho \gg \rho_0$ он может даже поменять знак! На рисунке показана зависимость $k_{ep}(\rho)$, полученная в предположении линейной связи магнитного поля с плотностью: $H = H_0 \rho / \rho_0$, $H_0 = 10^{15}$ Гс. Кривая 1 построена для $f' = 0,5$, $g' = 1,1$; кривая 2 — для $f' = 0,7$, $g' = 1,1$; кривая 3 — для $f' = 0,7$, $g' = 0,9$.

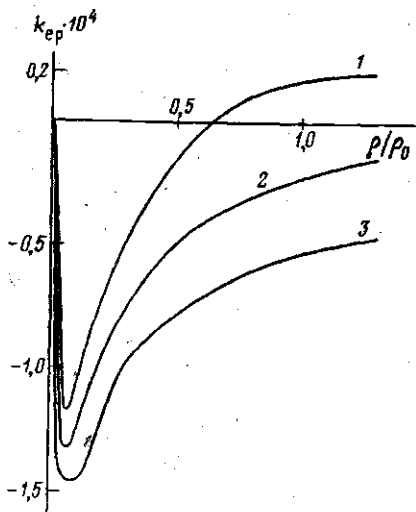
Перейдем теперь к учету свойств непрозрачности. Длина пробега нейтрино в веществе нейтронной звезды зависит от направления движения [8]:

$$\lambda = \lambda_0 (1 + k_n \cos \vartheta)^{-1}$$

и связана с удельной светимостью соотношением [10]

$$\lambda_0^{-1} \simeq 2\pi^2 [1 + \exp(q^v/T)] (q^v)^{-3} \frac{d\mathcal{E}^v}{dq^v}$$

Поэтому будем считать, что \mathcal{E}^v (и λ^{-1}) отличны от нуля только в пределах плотной и горячей «активной области» звезды с радиусом $R_a \simeq (0,4 \div 0,7) R$, R — радиус звезды. Тогда спектрально-угловое распределение выходящего излучения определяется выражением



$$\begin{aligned} \frac{dI^v}{dq^v} &= \int \frac{d\mathcal{E}^v}{dq^v} \times \\ &\times \exp \left[- \int_0^{d(r,n)} \frac{ds}{\lambda(r+ns, q^v)} \right] d^3x \simeq \\ &\simeq \frac{d\mathcal{E}^v}{dq^v} R_a^3 F(\vartheta), \end{aligned}$$

где $n = q^v/q^v$, $d(r, n)$ — расстояние вдоль n от точки r до поверхности звезды, а

$$\begin{aligned} F(\vartheta) &= \int_0^1 dx x^2 \int dn' \exp \{ a [(nn') x - \sqrt{(nn')^2 x^2 + 1 - x^2}] \} = \\ &= \frac{\pi}{a^2} \{ a + e^{-2a} - (1 - e^{-2a}) / (2a) \}, \end{aligned}$$

$$a = R_a (1 + k_n \cos \vartheta) / \lambda_0.$$

Для случая слабого поля $k_n \ll 1$ и параметр асимметрии выходящего излучения равен

$$\begin{aligned} \bar{k} &\simeq k - k_n [2x^2 - 3 + (4x^2 + 6x + 3) \exp(-2x)] [2x^2 - 1 + \\ &+ (2x + 1) \exp(-2x)]^{-1}, \end{aligned}$$

$x = R_a / \lambda_0$, k — параметр асимметрии в условиях прозрачности. Видно, что при $k_n \simeq k$, $\lambda_0 \ll R_a$ асимметрия излучения сильно подавлена: $\bar{k} \simeq k (\lambda_0 / R_a)^2$.

Для получения численной оценки скорости отдачи звезды, приобретаемой в ходе нейтронизации, используем следующее грубое описание коллапса [7]: нейтронизация вещества начинается при $\rho \sim 10^{10} - 10^{11}$ г/см³, $T \simeq 5 \cdot 10^9$ К и сопровождается быстрым сжатием. При $\rho > 3 \cdot 10^{11}$ г/см³ существенную роль начинают играть эффекты непрозрачности, нейтрино задерживаются и становятся сильно вырожденными.

Они покидают звезду за время $t_a \sim 1$ с. К моменту окончания нейтронизации $\rho \sim 10^{14}$ г/см³, $\rho_F^* < T \sim 10^{11}$ К и однонуклонные процессы сильно подавлены. В этом случае при линейной связи магнитного поля с плотностью $H = H_0 \rho / \rho_0$, $H_0 \ll 10^{18}$ Гс

$$v_H^{ep} \simeq +0,09 H_{0,16} \text{ км/с.}$$

Знак показывает направление скорости относительно магнитного поля, $H_{15} = H/10^{15}$ Гс. При разумных предположениях о величине поля величина v_H^{ep} оказывается слишком малой. В следующей статье будет показано, что значительно больший вклад в самоускорение звезды может вносить отдача от нейтринного излучения, испускаемого на стадии ее остывания.

СПИСОК ЛИТЕРАТУРЫ

- [1] Чугай Н. Н.//Письма в Астрон. журн. 1984. 10. С. 210. [2] Лоскутов Ю. М. Препринт физ. фак. МГУ № 4/1984. М., 1984. [3] Лоскутов Ю. М.//Письма в ЖЭТФ. 1984. 39. С. 438; ДАН СССР. 1984. 275. С. 1396; ТМФ. 1985. 65. С. 141. [4] Дорофеев О. Ф., Родионов В. Н., Тернов И. М.//Письма в Астрон. журн. 1985. 11. С. 302. [5] Корнилов В. Г., Линунов В. М.//Астрон. журн. 1984. 61. С. 686. [6] Линунов В. М.//Астрон. журн. 1982. 59. С. 888. [7] Шапиро С. Л., Тьюколски С. А. Черные дыры, белые карлики и нейтронные звезды. Физика компактных объектов. М., 1985. [8] Дорофеев О. Ф. и др. Препринт физ. фак. МГУ № 7/1986. М., 1986. [9] Мигдал А. Б. Теория конечных ферми-систем и свойства атомных ядер. М., 1983. [10] Воскресенский Д. Н., Сенаторов А. В.//ЖЭТФ. 1986. 90. С. 1505.

Поступила в редакцию
03.06.88

ВЕСТН. МОСК. УН-ТА. СЕР. 3, ФИЗИКА. АСТРОНОМИЯ. 1989. Т. 30, № 5

УДК 530.145

ЭФФЕКТИВНЫЕ ПОТЕНЦИАЛЫ КВАРКОВ В НЕАБЕЛЕВЫХ ХРОМОМАГНИТНЫХ ПОЛЯХ

А. С. Вшивцев, Б. В. Магницкий

(НИИЯФ)

Рассмотрено влияние химического потенциала на термодинамический потенциал равновесной системы кварков и антикварков в неабелевых хромомангнитных полях. Показано, что термодинамический потенциал является гладкой функцией температуры, поля и химического потенциала.

В данной работе рассмотрено влияние отличного от нуля химического потенциала μ на термодинамический потенциал Ω равновесной системы кварков и антикварков в неабелевых хромомангнитных полях. Интерес к такой постановке задачи связан с изучением температурных эффектов в калибровочных теориях с учетом свойств непертурбативного вакуума. Температурные эффекты в квантовой хромодинамике могут играть существенную роль при изучении свойств вещества, находящегося в экстремальных условиях высокой плотности и/или температуры. Так, например, в литературе рассматривается возможность образования кварк-глюонной плазмы в результате столкновения высокоэнергетических тяжелых ионов [1—3].

Используя технику мнимого времени [2], квантовополевой аналог термодинамического потенциала кварк-антикваркового газа можно